

طراحی، شبیه‌سازی و ساخت آنتن پچ میکرواستریپ آرایه 2×2 با تغذیه SIW در باند X

احسان سلطانی^{۱*}، بیژن ذاکری^۲، سید مهدی حسینی اندارگلی^۳

۱- کارشناسی ارشد ۲ و ۳- استادیار، گروه مخابرات، دانشکده مهندسی برق و کامپیوتر، دانشگاه صنعتی بابل
(دریافت: ۹۴/۰۷/۰۲، پذیرش: ۹۴/۱۲/۰۲)

چکیده

این مقاله به بررسی و طراحی یک آنتن آرایه‌ای پچ میکرواستریپ 2×2 در فرکانس GHz ۹/۵ برای کاربرد راداری پرداخته است که در شبکه تغذیه خود از مزایای موج برها زیرلایه SIW بهره می‌برد. پچ‌های میکرواستریپ با روش تزویج از شکاف‌هایی روی موج بر زیرلایه (SIW)، تحریک می‌شود. این شبکه تغذیه از مبدل کواکسیال به SIW به صورت عمودی و دو تقسیم‌کننده توان از نوع Y تشکیل شده است. آنتن در نرم‌افزار تمام موج CST شبیه‌سازی و سپس نمونه‌ای ساخته شده است. نتایج اندازه‌گیری مطابقت خوبی با نتایج شبیه‌سازی دارد. آنتن ساخته شده بهره dB ۱۱/۶ و سطوح گلبرگ‌های کناری کمتر از dB ۱۴/۵-۱۸ در صفحه E و ۱۸ در صفحه H دارد.

کلید واژه‌ها

پچ میکرواستریپ، شکاف تزویج، Aperture Coupled، تقسیم‌کننده توان، موج بر زیرلایه SIW

است. طراح در این آنتن در حالت پچ تنها، بهره^۵ dB ۷/۱ در فرکانس GHz ۶۰ و در آرایه خطی بهره dB ۱۵/۸ و پهنای باند امپدانسی در حدود ۱/۵ درصد به دست آورده است. در مرجع [۵] ساختار آنتن با تغذیه SIW در فرکانس کاری GHz ۶۰ با شکاف‌های تزویج طولی و عرضی مورد بررسی قرار گرفته است. این آنتن با شکاف‌های طولی و عرضی^۶ به ترتیب دارای بهره‌ای در حدود dB ۶/۸ و ۴/۸ و پهنای باندی در حدود ۲۳ درصد می‌باشد. در مرجع [۶] آنتن آرایه‌ای میکرواستریپ مبتنی بر موج بر SIW در فرکانس GHz ۲۴ طراحی شده است که این آنتن بهره dB ۱۱ و دارای گلبرگ‌های کناری^۷ dB ۳۳ و dB ۲۲ در صفحه‌های H و E است.

تحریک با خطوط میکرواستریپ^۸ معمولاً تلفات زیادی به خصوص در فرکانس‌های موج میلیمتری دارد و نیز باعث نامطلوب شدن الگوی تشعشعی^۹ میدان آنتن می‌شود [۷]. استفاده از

۱. مقدمه

آنتن‌های میکرواستریپ^۱ به خاطر مزایایی از جمله کم حجم بودن، وزن سبک، هزینه پایین و سطح مقطع عرضی کم، قابلیت انعطاف بالا و... جایگاه ویژه‌ای در کاربردهای راداری و سامانه‌های بی‌سیم موج میلیمتری دارند [۱]. فناوری روز دنیا به سمت آنتن‌هایی می‌رود که ابعاد کوچک، قابلیت ساخت آسان، وزن سبک و بهره بالایی داشته باشد. بسیاری از این نیازها توسط آنتن‌های پچ میکرواستریپ که با شبکه‌های تغذیه^۲ میکرواستریپ تحریک می‌شوند برآورده می‌شود [۲-۳].

آخریاً با توسعه موج برها زیرلایه‌ای^۳، از آن‌ها به عنوان موج برها با ابعاد کوچک و کم هزینه برای تغذیه آنتن‌های پچ میکرواستریپ به صورت تزویج از شکاف^۴ استفاده شده است. در مرجع [۴] یک آنتن آرایه‌ای خطی 1×8 شامل هشت تشعشع‌کننده که از روش روزنه تزویج تغذیه می‌شود ساخته شده

⁵ Gain

⁶ longitudinal and transversal slot

⁷ Side lobe level (SLL)

⁸ Microstrip transmission line

⁹ Pattern

*رایانه نویسنده پاسخگو: e.soltani.c@gmail.com

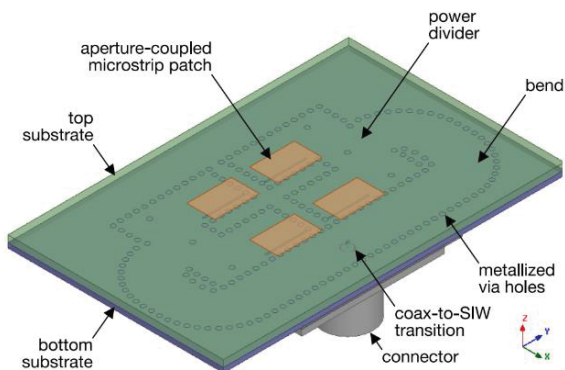
¹ Microstrip antennas

² Feednetwork

³ Substrate Integrated Waveguide

⁴ Aperture Coupled

آنتن تشکیل می‌دهد. پچ‌های میکرواستریپ به روش تزویج از روزنه یا شکاف به وسیله شبکه تغذیه SIW تحریک می‌شود. شبکه تغذیه آنتن خود از چهار قسمت تشکیل یافته است که عبارتند از مقسم توان^۳، خط انتقال خمیده^۴، مبدل کواکسیال به موج بر زیرلایه^۵ و شکاف تزویج. شبکه تغذیه به صورت متقارن و هم‌فاز (SMA) می‌باشد. آنتن آرایه برای تحریک از کانکتور کواکسیال (SMA) استفاده می‌کند که هادی داخلی آن به صفحه هادی بالا و بدن کانکتور به صفحه هادی پایین برد تغذیه اتصال دارد.



شکل ۱. ساختار کلی آنتن آرایه [۶]

شکل ۲ ساختار یک آنتن پچ میکرواستریپ تنها که با روش تزویج از تغذیه SIW تحریک می‌شود، نمایش می‌دهد. پچ مستطیلی میکرواستریپ با طول wp و عرض lp روی زیرلایه بالایی با دی الکتریک ϵ_r و ضخامت برد h قرار گرفته‌اند. در زیرلایه پایینی که شبکه تغذیه آنتن را تشکیل می‌دهد دو ردیف از via‌ها مرکز به مرکز روبروی هم با فاصله w_{SIW} قرار گرفته است که اینها صفحه هادی پایینی را به صفحه هادی بالایی متصل می‌کند. صفحه هادی بالایی در اندازه a در کنار هم چیدمان شده است. موج بر SIW در مود غالب TE10 طراحی گردیده است. صفحه هادی بالای برد زیرین، برد شبکه تغذیه، یک صفحه زمین یا رفلکتور را برای پچ‌های میکرواستریپ فراهم می‌کند. شکاف‌های طولی با ابعاد اندازه ws و ls بر روی صفحه بالایی برد شبکه تغذیه SIW واقع شده است. مرکز این شکاف‌ها، به اندازه ys ، از انتهای بسته موج بر در حدود یک چهارم طول موج موج بر و در جایی که بیشترین موج ساکن تشکیل می‌شود واقع شده است. پچ‌ها به صورت متقارن بر روی مرکز روزنه‌ها قرار گرفته است [۶].

تحریک آنتن به روش تزویج از شکاف یکی از روش‌هایی است که تا حدودی این مشکل را برطرف می‌کند اما همچنان تشعشعات ناشی از خطوط میکرواستریپ در پشت آنتن و تلفات توان، عاملی مزاحم محسوب می‌شود. برای رفع این مشکل استفاده از موج برها به جای خطوط میکرواستریپ پیشنهاد می‌شود. استفاده از موج برها مستطیلی به علت استحکام مکانیکی بالا، شیلدینگ مناسب، توان قابل تحمل بسیار بالا، افت کم و کیفیت بالا می‌تواند گزینه‌ای قابل اجرا برای جلوگیری از تشعشعات مزاحم مدار تغذیه باشد اما موج برها مستطیلی معمولی حجمی و دارای هزینه ساخت بالا می‌باشند و مجتمع سازی آن‌ها با مدارهای صفحه‌ای دشوار است. از این رو گزینه مناسب استفاده از موج بر زیرلایه‌ای SIW می‌باشد. ساختارهای موج بر زیرلایه RWG^۶ دارای مشخصات بسیار شبیه به موج برها مستطیلی^۷ می‌باشد. توزیع میدان در موج برها SIW مشابه توزیع میدان در RWG است اما در SIW به خاطر فاصله‌ی بین حفره‌های فلزی^۸ در دیواره موج بر، فقط مد TE10 قابل انتشار است [۸]. این مدها مشخصات پراکندگی تقریباً یکسانی با مدهای انتشاری در RWG که با دی الکتریک پر شده است، دارند. همچنین ساختارهای SIW در حالی که مزایای موج بر را حفظ می‌کنند، عیوب بیان شده در فوق را نیز برطرف می‌کنند. فرمول‌های مختلفی در مراجع [۸، ۹ و ۱۰] برای تبدیل موج بر معمولی به SIW ارائه شده است. با توجه به این ویژگی‌ها، ساختارهای SIW می‌تواند گزینه مناسبی برای پیاده‌سازی ادوات مایکروویوی و آنتن‌های فرکانس بالا بخصوص موج میلیمتری باشد. یک موج بر زیرلایه SIW، یک ساختار هدایت موج است که در این ساختار، دیواره‌های جانبی مستطیلی بوده با این تفاوت که در این ساختار، دیواره‌های جانبی موج بر مستطیلی بوسیله حفره‌های فلز اندودشده جایگزین می‌شوند. آنتن مذکور هم از مزایای موج برها زیرلایه و هم از مزایای آنتن‌های میکرواستریپ بهره می‌برد.

۲. ساختار آنتن

ساختار سه‌بعدی آنتن آرایه در شکل ۱ نمایش داده شده است. همان‌طور که مشاهده می‌شود آنتن شامل دو زیرلایه‌ی مجزا با ثابت دی الکتریک همسان می‌باشد که زیرلایه بالا را آرایه‌ی ۲×۲ پچ‌های میکرواستریپ و زیرلایه پایین را شبکه تغذیه

^۳ Power divider

^۴ Bend

^۵ coax-to-SIW transition

^۶ Rectangular waveguide

^۷ Via

در طراحی آنتن از دو زیرلایه استاندارد RO4003 با قطر ۱/۵۲۴mm و ثابت دیالکتریک ۳/۳۸ استفاده شده است. لذا طراحی تمام قسمت‌های آنتن بر مبنای مشخصات این زیرلایه انجام گرفته است.

۱-۳. طراحی موج بر مستطیلی

عملابرا برای انتقال امواج الکترومغناطیسی در هدایت‌کننده مستطیلی^۱ از مدل TE10 استفاده می‌شود که آن را مدل غالب^۲ یا اصلی می‌نامند، زیرا دارای کمترین فرکانس قطع^۳ در تمام مدهای ممکن در موجبر مستطیلی می‌باشد. برای پهنهای داده شده در یک هدایت‌کننده، فرکانس کاری باید بزرگ‌تر از فرکانس قطع در مدل TE10 و کمتر از فرکانس قطع در مدل TE20 باشد. در عمل حد بالای فرکانس را ۵ درصد کمتر از فرکانس قطع TE20 در نظر گرفته می‌شود و حد پایین فرکانس تقریباً ۲۵ درصد بالاتر از فرکانس قطع TE10 خواهد بود تا از ورود به ناحیه تضعیف زیاد در نزدیکی فرکانس قطع جلوگیری شود. با توجه به فرکانس کاری موج بر و انتشار موج در مدل TE10 ابعاد موج بر مستطیلی پر-شده از جنس دیالکتریک از مرجع [۱۱] به دست می‌آید.

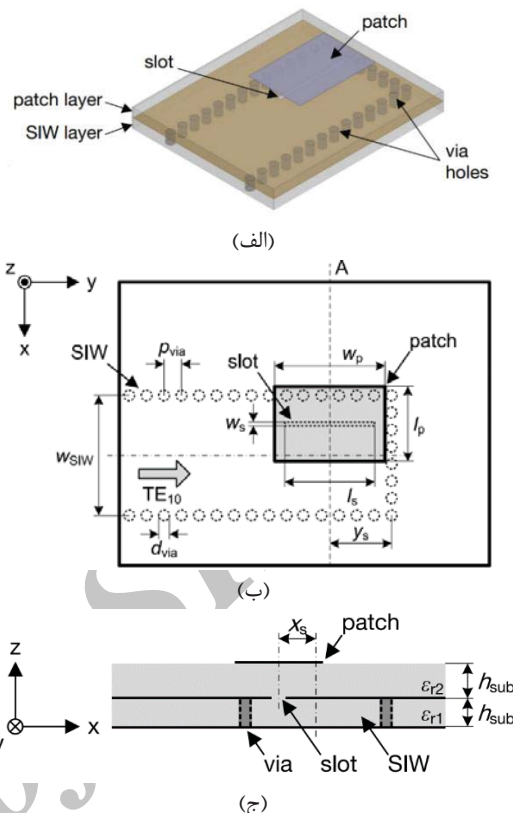
۲-۳. تبدیل موج بر مستطیلی به موج بر زیرلایه SIW

موج بر منطبق بر مدارات مجتمع باید به گونه‌ای طراحی شود که تا حد امکان موج بر مستطیلی را شبیه‌سازی کند و معادل آن باشد. با انتخاب دقیق پارامترهای w_{SIW} و s و d یک موج بر SIW می‌تواند به عنوان یک موج بری با اندازه دیواره افقی a_{RWG} عمل کند. چون دیواره عمودی موج بری یک آرایه خطی از via است و بین viaها فاصله s وجود دارد طراحی باید به مقادیر از توان امواج الکترومغناطیسی که از میان via شعشع می‌کند توجه داشته باشد. نشت موج به خاطر میدان الکترومغناطیسی گذرنده از میان فاصله بین هر دو via متواالی با استفاده از فرمول (۱) تقریب زده می‌شود [۱۲].

$$R_{leak} = 1 - \frac{d}{s \cdot \cos(\theta)} \quad (1)$$

$$\cos \theta = \frac{m\lambda}{2a} \quad (2)$$

در روابط بالا، d قطر via، s فاصله بین via های متواالی و θ زاویه برخورد موج می‌باشد. زاویه برخورد موج به دیواره‌های موج بر از معادله (۲) قابل محاسبه است. در معادله (۲)، مدهای TEM_{0,m}، مدهای TE₁₀ (۲) قابل محاسبه است. در معادله (۲) m ، λ طول موج، a پهنای SIW و θ زاویه برخورد می‌باشد. شکل ۳



شکل ۲. ساختار آنتن پچ میکرواستریپ تنها [۶] (الف) نمای سه‌بعدی
ب) نمای بالا (ج) نمای عرضی

۳. طراحی و شبیه‌سازی

هر یک از اجزای آنتن اعم از پچ‌های میکرواستریپ و قسمت‌های مختلف شبکه تغذیه می‌تواند به صورت جداگانه طراحی گردد. برای تسهیل در روند طراحی مراحل زیر پیشنهاد می‌شود. در مرحله نخست شبکه تغذیه آنتن و در آخر بهتر است پچ‌های میکرواستریپ طراحی گردد. همچنین برای صرف‌جویی در زمان محاسبات می‌تواند ابتدا طراحی بر مبنای موج بر مستطیلی مرسوم انجام شود و درنهایت به ساختار SIW تبدیل گردد. بنابراین مراحل طراحی آنتن به صورت زیر پیشنهاد می‌شود:

۱- طراحی موج بر مستطیلی در فرکانس ۹/۵ GHz

۲- تبدیل موج بر مستطیلی به موج بر زیرلایه SIW

۳- طراحی مبدل درگاهی کواکسیال به موج بر زیرلایه SIW

۴- طراحی شبکه تقسیم‌کننده توان موج بر زیرلایه SIW

۵- طراحی شبکه تغذیه آنتن

۶- طراحی شکاف یا روزنه روی موج بر زیرلایه SIW

۷- طراحی پچ میکرواستریپ

۸- طراحی آنتن پچ میکرواستریپ تنها با تغذیه SIW

۹- آرایه کردن پچ‌های میکرواستریپ با تغذیه SIW

¹ Rectangular waveguide

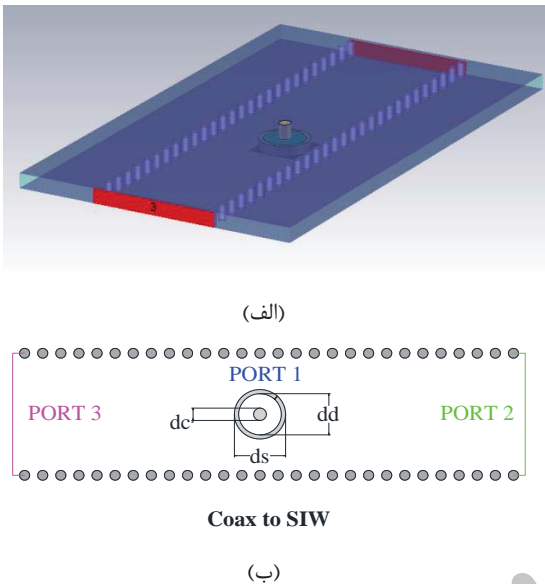
² Fundamental mode

³ Cutoff frequency

بین viaها می‌باشد.

۳-۳. طراحی مبدل کواکسیال به SIW

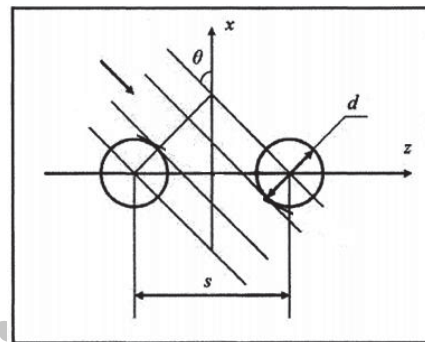
در مرجع [۱۴] تطبیق خط انتقال هم محور به موج بر SIW نشان داده شده است. طراحی مبدل کواکسیال به SIW مهمترین قسمت آنتن می‌باشد. شکل ۴ نمایی از طراحی مبدل کواکسیال به SIW را نشان می‌دهد.



شکل ۴. نمای مبدل کواکسیال به موج بر (الف) نمای سهبعدی (ب) نمای دو بعدی

در طراحی این قسمت هادی کانکتور SMA به صفحه هادی بالایی و بدن کانکتور به صفحه هادی پایینی برد تغذیه متصل می‌شود. اندازه‌های قطر Viaها، فاصله بین آن‌ها، ارتفاع زیرلایه، عرض دهانه موج بر و جنس دی‌الکتریک هر یک در تطبیق امپدانسی و پهنای باند موج بر تأثیر دارند. با افزایش قطر Viaها و کاهش فاصله آنها از یکدیگر چنانچه ملاحظات طراحی و ساخت در نظر گرفته شده باشد، وضعیت تطبیق بهتر خواهد شد. افزایش قطر Viaها باعث کاهش استحکام مکانیکی تغذیه آنتن می‌شود. همچنین افزایش ضخامت برد و کاهش ضریب دی‌الکتریک زیرلایه وضعیت تطبیق امپدانسی را بهتر خواهد کرد. بیشترین تأثیر مربوط به تغییرات ضخامت زیرلایه است. هر چه ضخامت برد افزایش پیدا می‌کند موج برگشتی کمتر و همچنین افت کمتری در موج بر خواهیم داشت [۱۱]. کم کردن عرض دهانه موج بر باعث بهبود ضریب انعکاس می‌شود. البته باید به این نکته توجه کرد که با کاهش عرض دهانه موج بر فرکانس قطع مد TE10 افزایش پیدا می‌کند. در اینجا با استفاده از زیرلایه RO4003 با ضخامت ۱/۵۲۴ میلی‌متر و بقیه پارامترهای موجود

امواجی را نشان می‌دهد که به یک آرایه خطی از via برخورد می‌کند. با توجه به معادلات (۱) و (۲) زمانی که فرکانس افزایش می‌یابد اگر زاویه برخورد ثابت باشد نشت الکترومغناطیسی بین viaها افزایش می‌یابد. هر چند که اگر فرکانس افزایش یابد و زاویه برخورد نیز افزایش یابد، نشت الکترومغناطیسی افزایش می‌یابد. این بدان خاطر است که زاویه برخورد نسبت به فرکانس تاثیر بیشتری روی نشت الکترومغناطیسی دارد [۱۲].



شکل ۳. برخورد امواج الکترومغناطیسی با دو متواالی

ویژگی دیگری که تاثیر زیادی روی نشت الکترومغناطیسی از میان دو via متواالی دارد، نسبت بین فاصله میان دو via متواالی و قطر viaها می‌باشد یعنی s/d . اگر نسبت s/d افزایش یابد، نشت الکترومغناطیسی زیاد می‌شود و اندازه میدان در درون آنتن SIW کاهش می‌یابد. برای اطمینان از این که نشت امواج الکترومغناطیسی قابل چشمپوشی باشد، دو شرط زیر باید ارضا شود.

$$\frac{s}{d} \leq 2 \quad (3)$$

$$d \leq 0.2\lambda \quad (4)$$

ناحیه‌ای از s/λ_c و d/λ_c وجود دارد که نشتی ناشی از فاصله Viaها قابل اغماض است [۱۲]. این ناحیه به صورت زیر تعریف می‌شود:

$$\frac{s}{\lambda_c} < 0.25 \quad (5)$$

$$\frac{s}{\lambda_c} > 0.05 \quad (6)$$

$$s > d \quad (7)$$

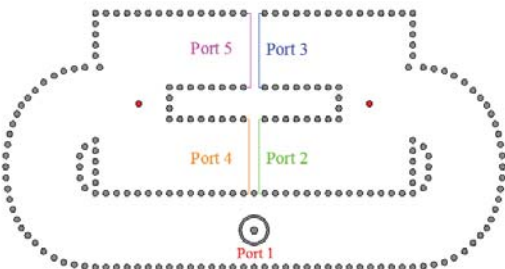
پارامتر w_{RWG} باید طوری انتخاب شود که فرکانس قطع مد TE10 و مد TE20 مربوط به آنتن SIW دقیقاً مشابه با مقادیر متناظر مربوط به آنتن موج بری می‌باشد. در مرجع [۱۳] روابط تبدیل اندازه دهانه موج بر به دهانه موج بر SIW آمده است که عبارتند از:

$$w_{RWG} = \left(W_{SIW} - \frac{d^2}{0.955} \right) \quad (8)$$

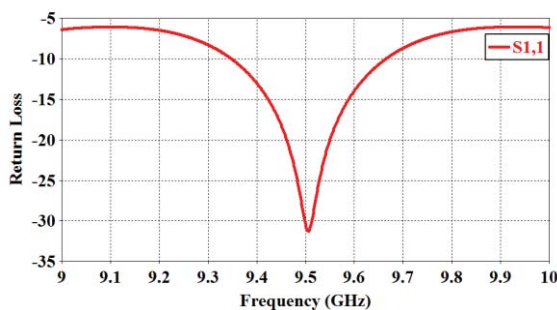
$$w_{RWG} = \left(W_{SIW} - 1.08 \frac{d^2}{s} - 0.1 \frac{d^2}{W_{SIW}} \right) \quad (9)$$

که در آن w_{SIW} پهنای دهانه موج بر SIW، d قطر via و s فاصله

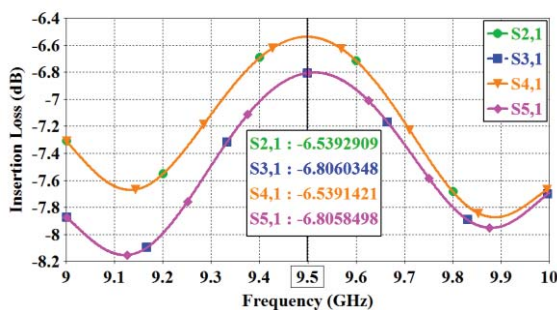
پهنهای باند کمتر از 10 dB در حدود 300 MHz است. چنانچه بردی با تازه‌انت تلفات بیشتر انتخاب شود تطبیق بهتر خواهد شد ولی از طرفی دیگر افت مسیر موج بر افزایش می‌یابد.



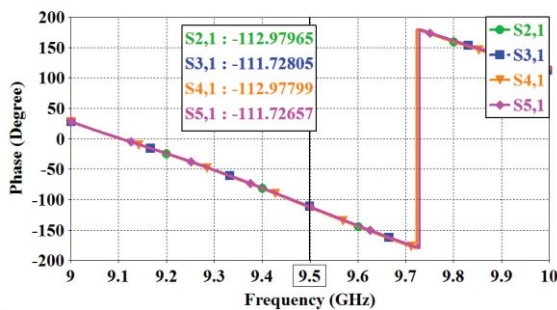
شکل ۶. ساختار کامل شبکه تغذیه



شکل ۷. وضعیت توان برگشتی در شبکه تغذیه SIW



شکل ۸. وضعیت تلفات تا درگاهی‌های دیگر



شکل ۹. وضعیت فاز در شبکه تغذیه

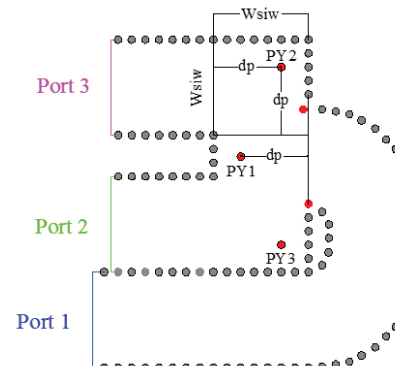
شکل‌های ۸ و ۹ وضعیت تلفات توان و فاز را در شبکه تغذیه آنتن نشان می‌دهد. در شکل ۸ بیشترین تلفات خط انتقال تقریباً

در جدول ۱ به ضریب انعکاسی کمتر از 12 dB بسنده کردند.

۳-۴. طراحی شبکه تقسیم‌کننده توان

برای تحریک هریک المان‌های آنتن از دو مقسم توان یک به دو بر پایه موج بر زیرلایه استفاده شده است. با توجه به مرجع [۱۵] در طراحی تقسیم‌کننده توان، از اتصال نوع Y و خط انتقال خمیده استفاده شده است. این تقسیم‌کننده در مود غالب TE10 طراحی شده است. در اتصال نوع Y اندازه دهانه‌های ورودی و دو خروجی یکسان می‌باشد. در شکل ۵ در اتصال نوع Y پست^۱ PY1 برای تقسیم توان از ورودی به دو خروجی SIW استفاده می‌شود. فاصله PY1 نزدیک به یک چهارم طول موج موج بر در فرکانس کاری از دهانه ورودی است. برای کاهش موج برگشتی و تطبیق امپدانسی بهتر، از پست‌های PY2 و PY3 در طراحی استفاده شده است. عموماً این پست‌ها در فاصله یک چهارم طول موج موج بر ($\lambda_g/4$) ورودی قرار گرفته و سپس با جایه‌جا کردن پست‌ها بهترین عملکرد مقسم توان به دست می‌آید.

در مرحله نخست به خاطر متقارن بودن شبکه تغذیه و تقسیم‌کننده توان یک سمت طراحی شده و سپس سمت دیگر را به مقسم توان اضافه می‌کنیم.



شکل ۵. ساختار مقسم توان اولیه

۳-۵. طراحی شبکه تغذیه آنتن

با اضافه شدن قسمت دیگر مقسم توان و مبدل کواکسیال به موج بر زیرلایه SIW شبکه تقسیم‌کننده توان کامل می‌گردد. در این مرحله وضعیت توان بازگشتی یک بار دیگر مورد بررسی قرار گرفته است. با جایه‌جای پست‌های گفته شده در بخش قبل وضعیت توان برگشتی را می‌توان بهینه کرد. در شکل ۶ نمایی کلی از شبکه تقسیم‌کننده توان نشان داده شده است. در اینجا از پست‌های PY2 و PY3 پس بهینه‌سازی حذف شده است. شکل ۷ وضعیت توان بازگشتی را نشان می‌دهد که ضریب انعکاس (S11) بهتر از -30 dB در فرکانس مرکزی $9/\text{GHz}$ می‌باشد. همچنین

^۱ Post

۷-۳. طراحی پچ میکرواستریپ

در مرجع [۱۷ و ۱۸] روش طراحی آنتن‌های پچ مورد بررسی قرار گرفته است. با استفاده از روابط (۱۰) تا (۱۳) ابعاد حدودی پچ میکرواستریپ در فرکانس مورد نظر به دست می‌آید.

$$W_p = \frac{c}{2f_0 \sqrt{\frac{(\epsilon_r+1)}{2}}} \quad (10)$$

$$\epsilon_{r,eff} = \frac{\epsilon_r+1}{2} + \frac{\epsilon_r-1}{2} \left[1 + 12 \frac{h}{W_p} \right]^{-1/2} \quad (11)$$

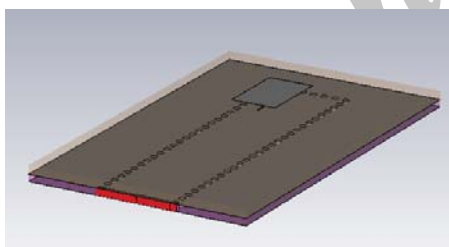
$$\Delta L = 0.412 h \frac{\left(\epsilon_{r,eff} + 0.3 \right) \left(\frac{W_p}{h} + 0.264 \right)}{\left(\epsilon_{r,eff} + 0.258 \right) \left(\frac{W_p}{h} + 0.8 \right)} \quad (12)$$

$$L_p = \frac{c}{2f_0 \sqrt{\epsilon_{r,eff}}} - 2\Delta L \quad (13)$$

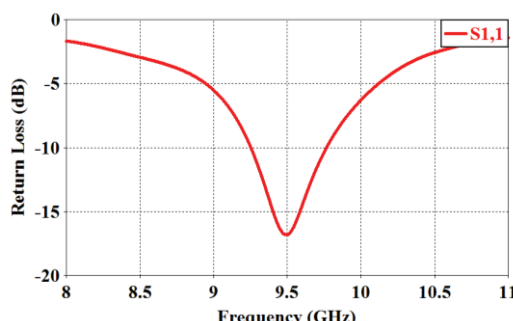
$\epsilon_{r,eff}$ به ترتیب پهنا و طول پچ میکرواستریپ و f_0 و h به ترتیب ضخامت برد، فرکانس رزونانس و ثابت دیالکتریک برد زیرلایه می‌باشد. تغییرات در طول پچ باعث جابه‌جایی فرکانس رزونانس و در پهنا پچ سبب افزایش پهنا باند و بهره می‌شود.

۸-۳. طراحی آنتن پچ میکرواستریپ

قبل از طراحی آرایه ابتدا یک پچ تنها با تغذیه SIW طراحی کرده و سپس آن را به آرایه تعمیم می‌دهیم. شکل ۱۰ یک پچ میکرواستریپ تنها که با فید SIW تحریک شده است را نشان می‌دهد. در شکل ۱۱ ضریب انعکاس پچ تنها نمایش داده شده است. همان‌طور که مشاهده می‌شود ضریب انعکاس در فرکانس ۹/۵ GHz کمتر از ۱۶ dB می‌باشد. همچنین از این آنتن بهره‌ای در حدود ۶/۶ dB را به دست آمده است.



شکل ۱۰. آنتن پچ میکرواستریپ تنها



شکل ۱۱. ضریب توان برگشتی آنتن پچ میکرواستریپ تنها

برابر $0/8$ dB است. ضمن این که 6 dB تلفات ناشی از تقسیم توان در موج بر SIW می‌باشد که در مجموع توان رسیده به سردرگاهی‌های ۲ تا ۵ تلفاتی در حدود $6/8$ dB را نشان می‌دهد. به علت این که پچ‌ها به صورت همدامنه و هم‌فاز تحریک می‌شوند پس می‌باشد دامنه و فاز رسیده به سردرگاهی‌های ۲ تا ۵ یکسان باشند. در شکل‌های (۸ و ۹) مشاهده می‌شود اختلاف دامنه و فاز رسیده بر سردرگاهی‌ها به ترتیب برابر $0/3$ dB و $1/2$ درجه می‌باشد. جدول ۱ مقدار تلفات توان و فاز را در درگاهی‌های ۱ تا ۵ نمایش می‌دهد.

جدول ۱. وضعیت تلفات و توان برگشتی تغذیه آنتن در شبیه‌سازی

فرکانس GHz	دامنه (dB)	فاز (degree)
۹/۵ GHz	-۳۰/۴۶	-۱۰۹/۲
۱	۹/۵۳۹	-۱۱۲/۹۸
۲	-۶/۸۰۵	-۱۱۱/۷۳
۳	-۶/۵۳۹	-۱۱۲/۹۸
۴	-۶/۸۰۵	-۱۱۱/۷۳
۵	-۶/۵۳۹	-۱۱۲/۹۸

۶-۶. طراحی شکاف روی شبکه تقسیم‌کننده توان

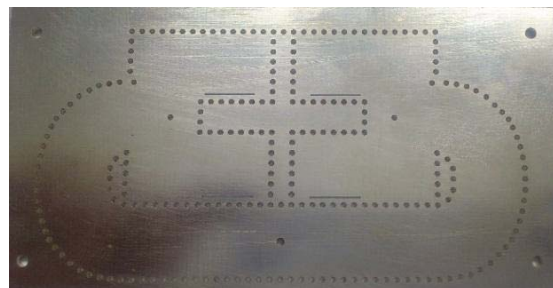
طراحی اسلات‌ها باید به گونه‌ای انجام شود که آنتن بدون گذاشتن پچ‌های میکرواستریپ در فرکانس کاری رزونانس داشته باشد. در طراحی شکاف‌ها به این نکته می‌باشد توجه کرد که افزایش طول شکاف‌ها باعث شیفت فرکانسی به سمت بالا و بلعکس می‌شود. همچنین عرض یا پهنا شکاف‌ها تقریباً یک بیستم یا کمتر در نظر گرفته می‌شود که در مراجع آمده است. طول شکاف باید حدوداً نصف طول موج هدایت موج بر در مدد غالب باشند. در طراحی موقعیت شکاف‌ها از مرکز موج بر عموماً چنانچه طراحی بر روی مستطیلی مرسوم انجام شود در تبدیل به موج بر SIW، شکاف فاصله بیشتری از مرکز پیدا می‌کند. پهنا شکاف تأثیر زیادی در جابه‌جایی فرکانسی ندارد ولی می‌توان با مقداردهی مناسب تطبیق بهتری به دست آورد. در مرجع [۱۹] نمونه‌ای از آن اشاره شده است. برای به دست آوردن ابعاد و موقعیت مکانی شکاف آنچه که در طراحی آنتن‌های آرایه‌ای شکافی به روش الیوت انجام می‌گیرد را دنبال می‌کنیم [۱۶]. برای تحریک هر یک از المان‌های پچ میکرواستریپ به صورت شکاف تزوییج، چهار شکاف طولی با ابعاد l_s و w_s روی هادی بالای زیرلایه پایینی تعییه شده است. این شکاف‌ها در مرکز بیشترین جایی که موج ساکن ایجاد می‌شود، تقریباً در فاصله یک چهارم طول موج موج بر از انتهای دیواره بسته با یک آفست از خط واسط موج بر، واقع شده‌اند [۶]. مرکز شکاف‌ها به صورت کاملاً دقیق در زیر مرکز پچ‌های میکرواستریپ قرار گرفته است.

جدول ۲. اندازه‌های قسمت‌های مختلف آنتن بر حسب میلی‌متر

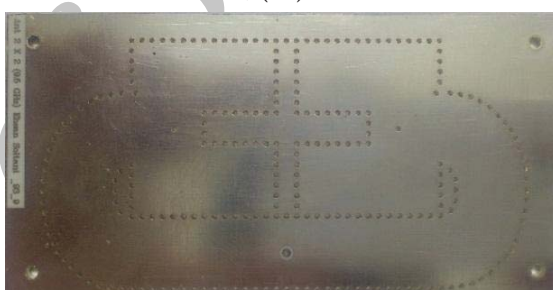
ابعاد زیرلایه	$a \times b \times h$	$100 \times 50 \times 1/524$
قطر داخلی هادی کانکتور	dc	$1/27$
قطر دی‌الکتریک کانکتور	dd	$4/25$
ضخامت بدنه کانکتور	ds	$0/42$
Via	dvia	۱
فاصله بین Via ها	s	$1/8$
ضخامت مس روی زیرلایه	t	$0/017$
اندازه دهانه موج‌بر فلزی	a_{RWG}	۱۲
ارتفاع موج‌بر فلزی و SIW	h	$1/524$
اندازه دهانه موج‌بر SIW	W_{SIW}	$12/58$
پهنای شکاف یا روزنه	W_s	$0/3$
پهنای پچ میکرواستریپ	W_p	$12/5$
طول شکاف یا روزنه	l_s	۹
عرض پچ میکرواستریپ	l_p	$5/8$
فاصله مرکز شکاف از دیواره انتهایی موج‌بر	y_s	$7/5$
فاصله مرکز شکاف از مرکز موج‌بر	x_s	۵
فاصله پست p از ورودی دهانه موج‌بر	dp	۷

۴-۹. آرایه کردن آنتن پچ میکرواستریپ 2×2

برای کاهش تزویج متقابل فاصله مرکز به مرکز المان در حدود $0/56$ طول موج در فضای آزاد در نظر گرفته شده است. مقدار تزویج متقابل کمتر از 17 dB- می‌باشد. در شکل‌های (۱۲-۱۴) قسمت‌های مختلف آنتن ساخته شده، نمایش داده شده است. در جدول ۲ تمامی مقادیر پارامترهای طراحی برای ساخت آنتن آمده است.

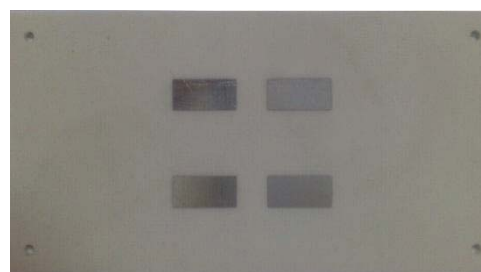


(الف)

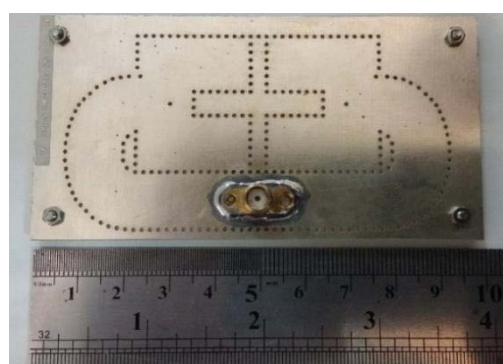


(ب)

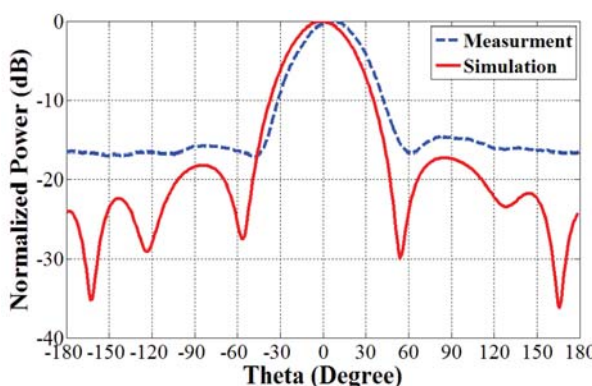
شکل ۱۲. نمایی از شبکه تغذیه آنتن (الف) نمای بالا به همراه شکاف (ب) نمای پشت



شکل ۱۳. نمای جلوی آنتن آرایه



شکل ۱۴. نمای پشت آنتن با اتصال کانکتور



شکل ۱۵. الگوی تشعشعی میدان راه دور در صفحه E

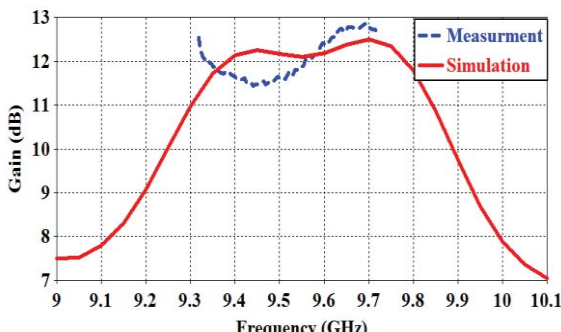
جدول ۴. مقادیر اندازه‌گیری و شبیه‌سازی در سه فرکانس ۹/۴، ۹/۵ و ۹/۶ گیگاهرتز در صفحه H

فرکانس (GHz)	۹/۴	۹/۵	۹/۶
بیشترین سطح گلبرگ‌های کناری در شبیه‌سازی (dB)	-۲۴/۶	-۲۴	-۲۳/۸
بیشترین سطح گلبرگ‌های کناری در اندازه‌گیری (dB)	---	-۱۸/۱	-۱۶/۹
پهنهای نیم‌توان در شبیه‌سازی بر حسب درجه	۴۲/۵	۴۱/۱	۴۱/۶
پهنهای نیم‌توان در اندازه‌گیری بر حسب درجه	۴۲	۴۰/۸	۴۰/۸
انحراف بیم اصلی اندازه‌گیری شده نسبت به شبیه‌سازی بر حسب درجه	۶	۴/۸	۸/۴

در شکل ۱۷ وضعیت بهره آتنن در دو حالت شبیه‌سازی و اندازه‌گیری نشان داده شده است. در اینجا بهره به دست آمده از اندازه‌گیری برابر $11/6$ dB در فرکانس $11/6$ GHz می‌باشد که نسبت به شبیه‌سازی $10/8$ dB $11/6$ dB اختلاف دارد. جدول ۵ مقادیر عددی بهره را در سه فرکانس $9/4$ ، $9/5$ و $9/6$ گیگاهرتز نشان می‌دهد.

در شکل ۱۸ پهنهای باند امپدانسی آتنن نشان داده شده است. پهنهای باند کمتر از 10 dB این آتنن در حدود $5/3$ درصد است.

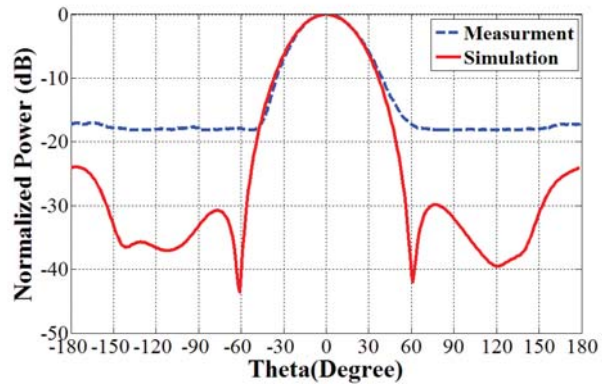
شکل ۱۹ وضعیت الگوی تشعشعی را در دو حالت co-pol و cross-pol در صفحات E و H در شبیه‌سازی نمایش می‌دهد. همان‌طور که مشاهده می‌شود آتنن پلاریزاسیون متعامد کمتر از 50 dB دارد.



شکل ۱۷. نمودار بهره آتنن آرایه

جدول ۵. مقدار بهره در شبیه‌سازی و اندازه‌گیری

فرکانس (GHz)	۹/۴	۹/۵	۹/۶
بهره در شبیه‌سازی (dB)	۱۲/۱۳	۱۲/۱۷	۱۲/۱۸
بهره در اندازه‌گیری (dB)	۱۱/۸۵	۱۱/۶	۱۲/۳۹



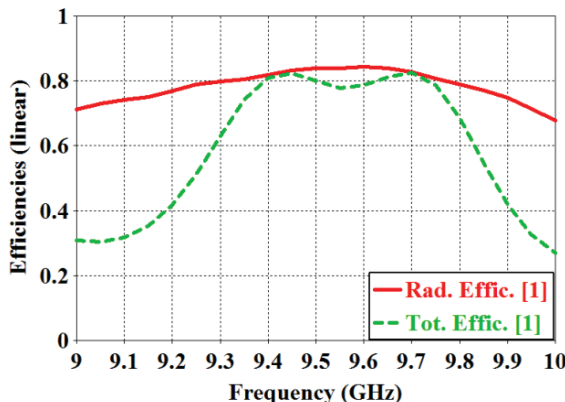
شکل ۱۶. الگوی تشعشعی میدان راه دور در صفحه H

در جدول ۲ و ۳ مقادیر به دست آمده از اندازه‌گیری و شبیه‌سازی آتنن در دو صفحه E و H مورد مقایسه قرار گرفته است. همان‌طور مشاهده می‌شود نتایج پارامترهای گلبرگ‌های کناری، پهنهای نیم‌توان^۱ و انحراف بیم اصلی در سه فرکانس بررسی شده‌اند. در این مقایسه وضعیت گلبرگ‌های کناری $2/7$ dB در صفحه E و $5/9$ dB در صفحه H بیشتر می‌باشد. وضعیت پهنهای نیم‌توان در صفحه E برابر با شبیه‌سازی بوده و در صفحه H $1/3$ درجه نسبت به شبیه‌سازی اختلاف دارد. انحراف در بیم اصلی نیز دارای $4/8$ درجه اختلاف در فرکانس $9/5$ GHz می‌باشد. جزئیات بیشتر برای دو فرکانس دیگر در جدول‌های ۳ و ۴ به ترتیب برای صفحه‌های E و H آمده است. اختلاف بوجود آمده در انحراف بیم آتنن به دلیل تلوارانس ساخت بوده و متأسفانه به جهت خطای دستگاه اندازه‌گیری در قرائت توان‌های پایین، توان گلبرگ‌های کناری بیشتر از حد انتظار است.

جدول ۳. مقایسه مقادیر اندازه‌گیری و شبیه‌سازی در سه فرکانس ۹/۶، ۹/۵، ۹/۴ گیگاهرتز در صفحه E

فرکانس (GHz)	۹/۴	۹/۵	۹/۶
بیشترین سطح گلبرگ‌های کناری در شبیه‌سازی (dB)	-۱۸	-۱۷/۲	-۱۶/۷
بیشترین سطح گلبرگ‌های کناری در اندازه‌گیری (dB)	-۱۵/۱	-۱۴/۵	-۱۳/۸
پهنهای نیم‌توان در شبیه‌سازی بر حسب درجه	۴۱/۳	۴۰/۸	۴۰/۲
پهنهای نیم‌توان در اندازه‌گیری بر حسب درجه	۴۱/۹	۴۰/۸	۴۰/۸
انحراف بیم اصلی اندازه‌گیری شده نسبت به شبیه‌سازی بر حسب درجه	۶	۴/۸	۸/۴

^۱ Half power beamwidth



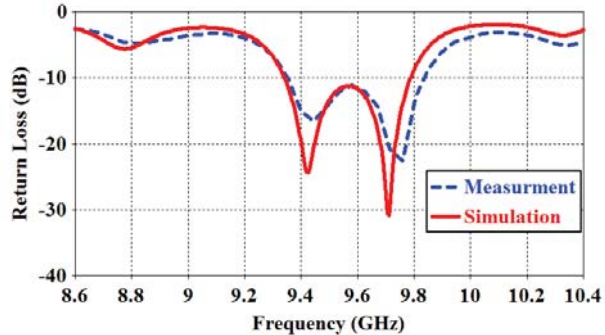
شکل ۲۰. راندمان تشعشعی و کل آنتن در شبیه‌سازی

۵. نتیجه‌گیری

در این مقاله یک آنتن پچ میکرواستریپ آرایه 2×2 که توسط موج بر زیرلایه SIW تغذیه می‌شود، در فرکانس $9/5$ GHz طراحی و ساخته شده است. آنتن شامل دو زیرلایه است که زیرلایه بالا را پچ‌های میکرواستریپ و زیرلایه پایین را تغذیه آنتن تشکیل می‌دهد. استفاده از این شبکه تغذیه به خاطر شیلدینگ مناسب و تلفات کم، بیشتر در فرکانس‌های با موج میلی‌متری که تلفات خط انتقال بسیار زیاد است کاربرد دارد. شبکه تغذیه به دلیل استفاده از مزایای موج‌بری کمترین تشتعشعتات پارازیتی را ایجاد می‌کند. مبنای طراحی آنتن بر روی برد RO4003 قرار داده شده است. آنتن ساخته شده دارای بهره $11/6$ dB و پهنای باند $5/3$ درصد می‌باشد. اندازه گلبرگ‌های کناری در صفحه E برابر با $14/5$ dB و در صفحه H برابر با -18 dB است. همچنین در این آنتن پلاریزاسیون متعامد کمتر از -50 dB در هر یک از دو صفحه E و H بدست آمده است که به خاطر شبکه تغذیه آنتن در مقایسه با آنتن‌های پچ میکرواستریپ معمول بسیار کمتر است.

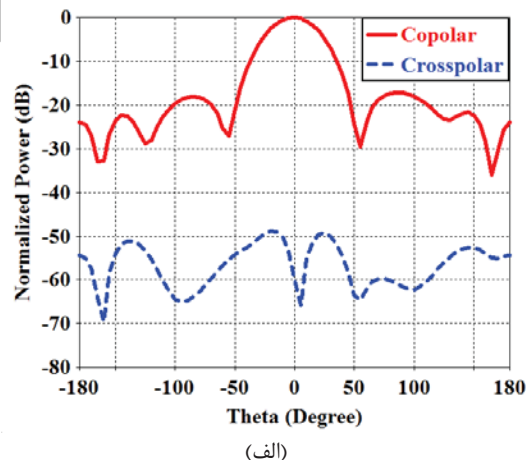
۶. مراجع

- [1] M. I. Skolnik, "Radar Handbook," 3rd ed., McGraw-Hill, 2009.
- [2] M. H. Awida and A. E. Fathy, "Substrate-integrated waveguide Ku-band cavity-backed 2×2 microstrip patch array antenna," IEEE Antenn. Wireless Propag. Lett., vol. 8, pp. 1054–1056, 2009.
- [3] X. Feng, C. Xu, and W. Xin'an, "K-band micro-strip antenna array applied in anti-collision radar," in Proc. 12th ICCT, anjing, CN, PP. 1240–1243, Nov. 2010.
- [4] W. M. Abdel-Wahab, S. Safavi-Naeini, and D. Busuioc, "Low cost microstrip patch antenna array using planar waveguide technology for emerging millimeter-wave wireless communication," in Proc. 14th ANTEM-AMEREM, Ottawa, CA, Jul. 2010.

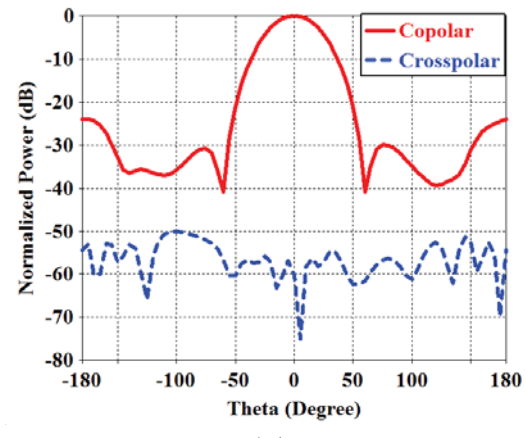


شکل ۱۸. نمودار افت توان برگشتی آنتن آرایه

در شکل ۲۰ وضعیت راندمان آنتن نشان داده شده است. نمودار پیوسته راندمان تشعشعی آنتن و نمودار نقطه‌چین راندمان کل آنتن را نمایش می‌دهد. مشاهده می‌شود راندمان تشعشعی آنتن در فرکانس‌های $9/32$ GHz تا $9/76$ GHz بیشتر از 80 درصد می‌باشد و راندمان کل آنتن در این باند در حدود 80 درصد است. چنانچه از زیرلایه‌ی با تائزانت تلفات کمتر استفاده می‌شود مقدار راندمان افزایش می‌یافتد. در اینجا مقدار تائزانت تلفات در این باند فرکانسی برای زیرلایه RO4003 در حدود 0.0027 است.



(الف)



(ب)

شکل ۱۹. نمودار cross polarization و copolarization در شبیه‌سازی
الف) صفحه E ب) صفحه H

- [12] D. Deslandes, K. Wu, "Accurate modeling wave mechanisms and design consideration of a substrate integrated waveguide," *IEEE Trans. Microw. Theory Tech.*, vol. 45, no. 6, June 2006.
- [13] M. Bozzi, A. Georgiadis, and K. Wu, "Review of substrate-integrated waveguide circuits and antennas," *IEEE Proc. Microwaves Antenn. Propag.*, vol. 5, no. 8, pp. 909–920, June 2011.
- [14] A. Morini, M. Farina, C. Cellini, T. Rozzi, and G. Venanzoni, "Design of low-cost nonradiative SMA-SIW launchers," in *Proc. 36th EuMC*, Manchester, GB, pp. 526-529, Sep. 2006.
- [15] Zh. Hao, W. Hong, H. Li, H. Zhang, and Ke Wu, "Multiway Broadband Substrate Integrated Waveguide (SIW) Power Divider," *IEEE 2005*.
- [16] R. S. ELLIOTT, "Antenna Theory and Design," Rev ed. Hoboken (US-NJ), Chapter VIII, 2003.
- [17] C. A. Balanis, "Antenna Theory Analysis and Design" 3rd Edition, WILEY, 2005.
- [18] E. O. Hammerstad, "Equations for Microstrip Circuit Design," *IEEE, Microwave Conference, 1975. 5th European, 10.1109/EUMA, 1975*.
- [19] T. Mikulasek and J. Lacik, "Microstrip Patch Antenna Fed by Substrate Integrated aveguide," 978-1-61284-978-2/11/\$26.00 ©2011 IEEE.
- [5] W. M. Abdel-Wahab and S. Safavi-Naeini, "Wide-bandwidth 60GHz aperture-coupled microstrip patch antennas fed by substrate integrated waveguide," *IEEE Antennas and Wireless Propagation Letters*, vol. 10, pp. 1003–1005, 2011.
- [6] T. Mikulasek, A. Georgiadis, A. Collado, and J. Lacik, "2x2 Microstrip Patch Antenna Array Fed by Substrate Integrated Waveguide for Radar Applications," *IEEE antenasand wireless propagation Letters*, vol. xy, 2013.
- [7] P. Kovacs, J. Bartyzal, T. Bostik, T. Mikulasek, J. Puskely, Z. Raida, L. Slama, J. Vorek, and D. Wolansky, "Antenna arrays for tactical communicationsystems: a comparative study," *Radioengineering*, vol. 20, no. 4, pp. 817–827, Dec. 2011.
- [8] M. Salehi and E. mehrshahi, "A closed-form formula for dispersion characteristics of funda-mental SIW mode," *IEEE Microwave and Wireless Components Letters*, vol. 21, no. 1, pp. 4–6, 2011.
- [9] G. Cassivi, Y. Perregiani, L. Arcioni, P. Bressan, M. Wu, and K. Conciauro, "Dispersion characteristics of substrate integrated rectangular waveguide," *IEEE Microw. Wirel. Compon. Lett.*, vol. 12, no. 9, pp. 333–335, 2002.
- [10] W. Che, K. Deng, D. Wang, and Y. L. Chow, "Analytical equivalence between substrate integrated waveguide and rectangular waveguide," *IET Microw. Antennas Propag.*, pp. 35–41, 2008.
- [11] D. M. Pozar, "Microwave Engineering," 3rd ed. New York, Wiley, 2005.

Design, Simulation and Fabrication of 2x2 Microstrip Patch Antenna Array Fed by Substrate Integrated Waveguide at x Band

Ehsan Soltani^{*}, Bijan Zakeri, S. M. Hosseini Andargoli

Babol Noshirvani University of Technology

(Received: 21/02/2015, Accepted: 24/09/2015)

Abstract

This paper describes the design of a 2x2 micro-strip patch antenna array in the frequency of 9.5GHz for radar applications, using substrate integrated waveguide, SIW, for feeding network. The micro-strip patches are aperture-coupled with the feeding network of SIW. The feeding network consisting of a perpendicular coax-to-SIW transition and two Y-junction power dividers. The antenna is simulated in full wave software of CST and the prototype is fabricated. The measurement results good agreement with the simulation results. a fabricated prototype has a gain of 11.6dB and a side lobe level below -14.5dB in the E-plane and -18dB in the H-plane.

Keywords

Microstrip Patch, Aperture coupled, Power divider, Substrate Integrated Waveguide (SIW).

^{*} Corresponding author E-mail: e.soltani.c@gmail.com